

# Física do spin

F.S. Navarra

[navarra@if.usp.br](mailto:navarra@if.usp.br)

Richard Terra (monitor)

[richard.terra@usp.br](mailto:richard.terra@usp.br)

[edisciplinas.if.usp.br](http://edisciplinas.if.usp.br)

(buscar: física do spin)

# Plano do curso

- 13/03 aula 1: Partículas elementares e idéias da física quântica
- 20/03 aula 2: Átomo de Bohr, quantização do momento angular
- 27/03 aula 3: Momento de dipolo magnético, Stern - Gerlach
- 10/04 aula 4: Efeito Zeeman anômalo
- 17/04 1<sup>a</sup> Prova
- 24/04 aula 5: Equações de autovalores, matrizes de Pauli
- 08/05 aula 6: Comutadores, medidas SG sequenciais
- 15/05 aula 7: Medidas e valores médios
- 22/05 aula 8: Precessão de Larmor
- 29/05 aula 9: Adição de spins

05/06 2º Prova

12/06 aula 10: Princípio da exclusão de Pauli

19/06 aula 11: Interação hiperfina no hidrogênio

26/06 aula 12: EPR (Rafael)

03/07 aula 13: RMN (Paulo)

10/07 3º Prova

## Avaliação

Três provas : P1 P2 P3

Média das duas melhores :  $P = (P_i + P_j)/2$

Substitutiva aberta

# Aula 11

Interação hiperfina no hidrogênio

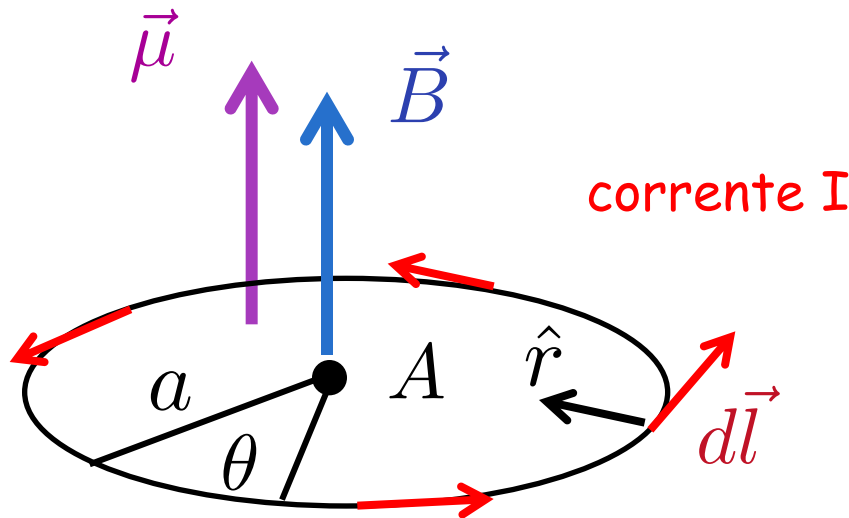
A linha de 21 cm

A rotação das galáxias

# Interação hiperfina no átomo de hidrogênio

Modelo:  
interação magnética  
entre duas espiras

# Campo magnético de uma espira



Biot-Savart :

$$d\vec{B} = \frac{\mu_0 I}{4\pi} \frac{d\vec{l} \times \hat{r}}{r^2}$$

$$d\vec{l} \times \hat{r} = |d\vec{l} \times \hat{r}| \hat{k} = dl \hat{k}$$

$$d\vec{l} \times \hat{r} = r d\theta \hat{k}$$

$$d\vec{B} = \frac{\mu_0 I}{4\pi} \frac{r}{r^2} d\theta \hat{k}$$

$$\vec{B} = \frac{\mu_0 I}{4\pi a} \int_0^{2\pi} d\theta \hat{k}$$

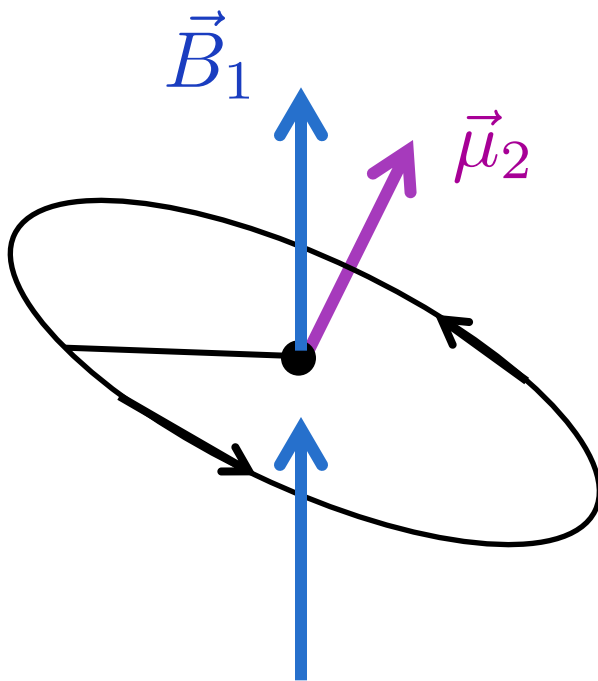
$$\vec{B} = \frac{\mu_0 I}{2a} \hat{k}$$

$$\vec{B} = \frac{\mu_0 I}{2a} \frac{\pi a^2}{\pi a^2} \hat{k}$$

$$\vec{\mu} = IA\hat{k} = I\pi a^2 \hat{k}$$

$$\boxed{\vec{B} = \frac{\mu_0}{2\pi a^3} \vec{\mu}}$$

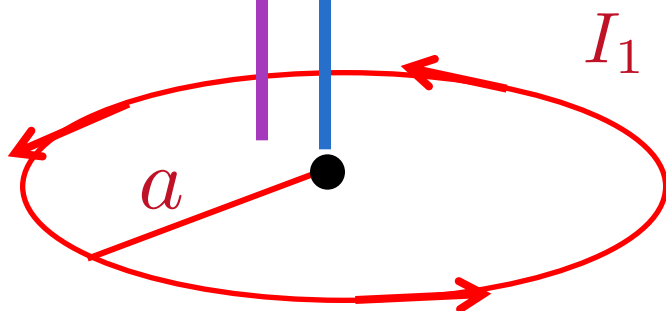
## Interação entre duas espiras



$$\vec{B}_1 = \frac{\mu_0}{2\pi a^3} \vec{\mu}_1$$

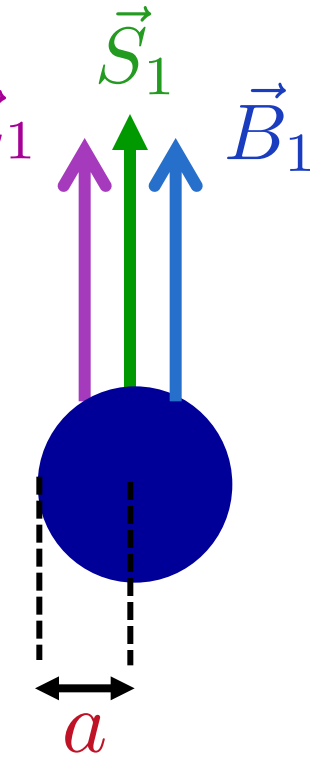
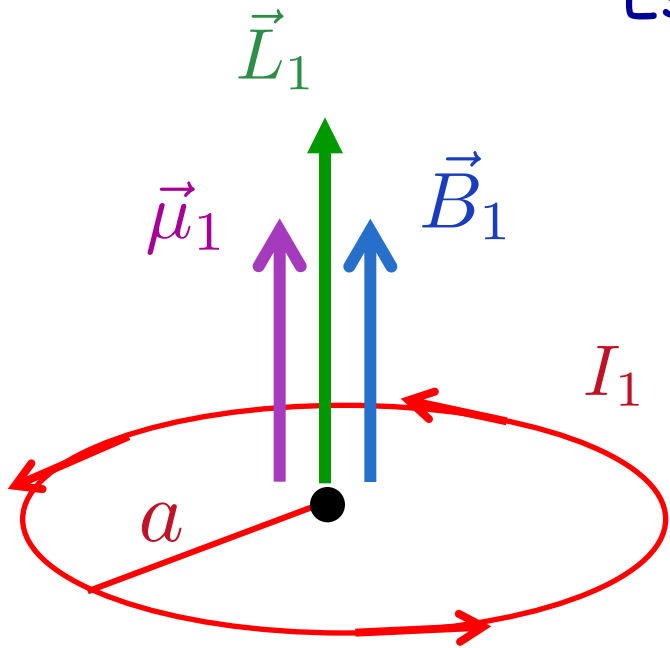
$$U = -\vec{\mu}_2 \cdot \vec{B}_1$$

$$H = U = -\frac{\mu_0}{2\pi a^3} \vec{\mu}_1 \cdot \vec{\mu}_2$$



(cargas positivas  
em movimento)

Espiras  $\rightarrow$  "esferas"



$$\vec{\mu}_1 = \gamma_1 \vec{S}_1$$

$$\vec{\mu}_2 = \gamma_2 \vec{S}_2$$

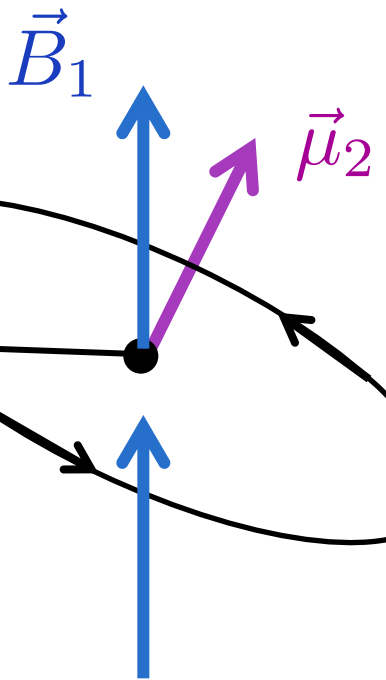
$$\gamma = \frac{g e}{2 m}$$

$$H = -\frac{\mu_0}{2\pi a^3} \vec{\mu}_1 \cdot \vec{\mu}_2$$



$$H = -\frac{\mu_0 \gamma_1 \gamma_2}{2\pi a^3} \vec{S}_1 \cdot \vec{S}_2$$

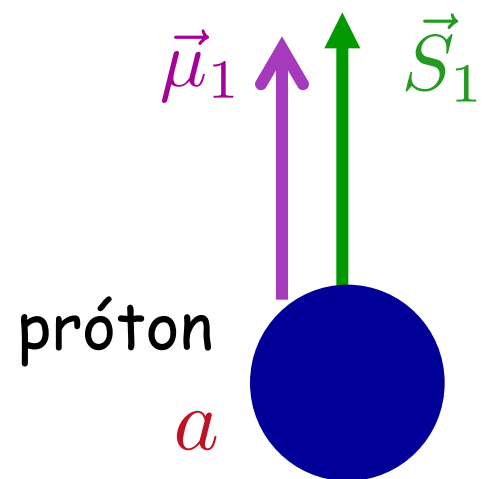
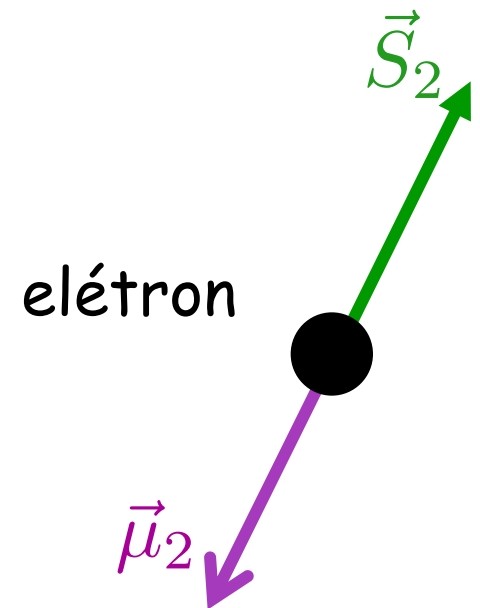
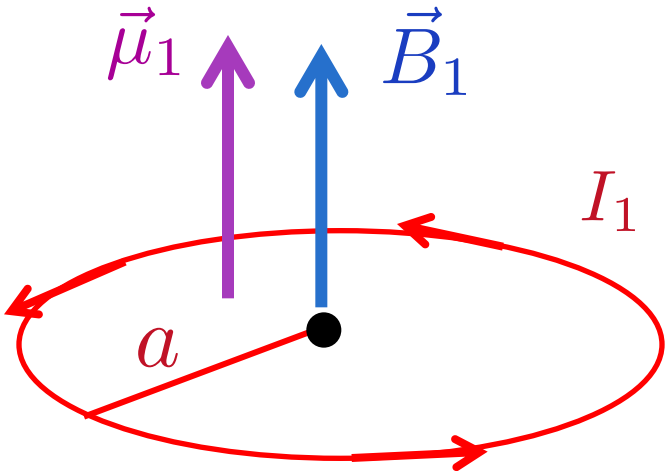
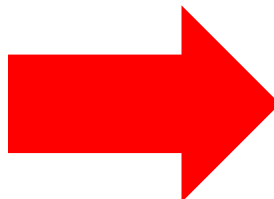
## Espiras $\rightarrow$ "esferas"



(cargas negativas  
em movimento)

$$\gamma_2 \rightarrow -\gamma_2$$

$$\vec{\mu}_2 = -\gamma_2 \vec{S}_2$$



$$H = -\frac{\mu_0 \gamma_1 \gamma_2}{2 \pi a^3} \vec{S}_1 \cdot \vec{S}_2 \quad \xrightarrow{\gamma_2 \rightarrow -\gamma_2} \quad H = \frac{\mu_0 \gamma_1 \gamma_2}{2 \pi a^3} \vec{S}_1 \cdot \vec{S}_2$$

$$\vec{S} = \vec{S}_1 + \vec{S}_2$$

$$\vec{S}^2 = \vec{S}_1^2 + \vec{S}_2^2 + 2 \vec{S}_1 \cdot \vec{S}_2$$

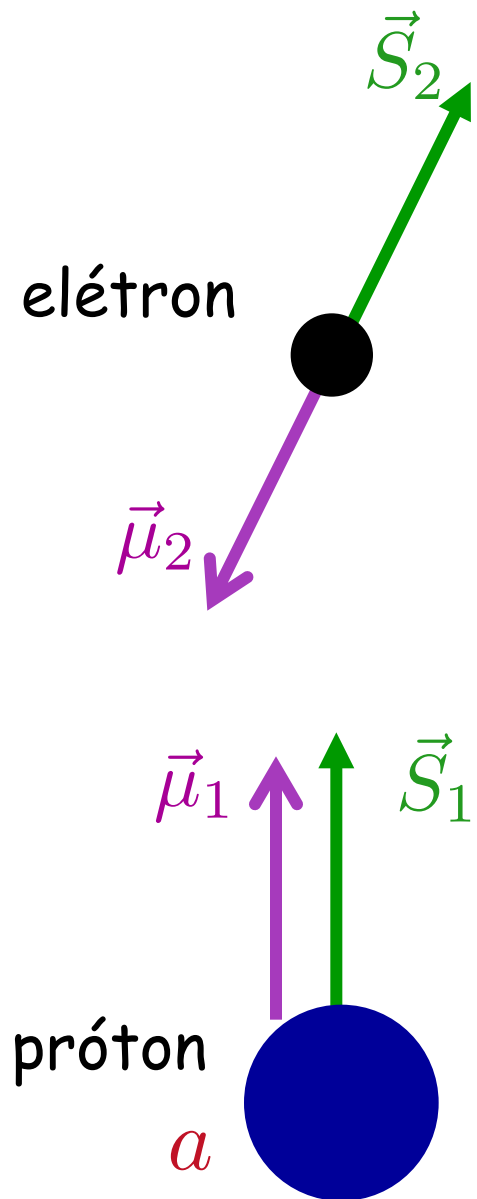
$$\vec{S}_1 \cdot \vec{S}_2 = \frac{\vec{S}^2 - \vec{S}_1^2 - \vec{S}_2^2}{2}$$

$$H = \frac{\mu_0 \gamma_1 \gamma_2}{2 \pi a^3} \frac{\vec{S}^2 - \vec{S}_1^2 - \vec{S}_2^2}{2}$$

versão quântica: funções viram operadores !

$$\left\{ \begin{array}{l} \vec{S} \rightarrow \hat{S} \\ H \rightarrow \hat{H} \end{array} \right.$$

# Energia de interação hiperfina (spin-spin)



$$E = \langle \hat{H} \rangle = \langle \chi | \hat{H} | \chi \rangle$$

$$| \chi \rangle = | s, m \rangle$$

Estado de spin de duas partículas  
com spin total  $s$  e projeção  $m$

Triplet : 
$$\left\{ \begin{array}{l} |1\ 1\rangle \\ |1\ 0\rangle \\ |1\ -1\rangle \end{array} \right.$$

Singlet :  $|0\ 0\rangle$

$$E = \frac{\mu_0 \gamma_1 \gamma_2}{2 \pi a^3} \left( \frac{\langle s m | \vec{S}^2 | s m \rangle - \langle s m | \vec{S}_1^2 | s m \rangle - \langle s m | \vec{S}_2^2 | s m \rangle}{2} \right)$$

**Singlet**:  $|0\ 0\rangle = \frac{1}{\sqrt{2}} |\frac{1}{2} + \frac{1}{2}\rangle |\frac{1}{2} - \frac{1}{2}\rangle - \frac{1}{\sqrt{2}} |\frac{1}{2} - \frac{1}{2}\rangle |\frac{1}{2} + \frac{1}{2}\rangle$

$$\langle 0\ 0 | \hat{S}^2 | 0\ 0 \rangle = 0$$

$$\langle 0\ 0 | \hat{S}_1^2 | 0\ 0 \rangle = \frac{3}{4} \hbar^2$$

$$\langle 0\ 0 | \hat{S}_2^2 | 0\ 0 \rangle = \frac{3}{4} \hbar^2$$

$$E_{singlet} = \frac{\mu_0 \gamma_1 \gamma_2}{2 \pi a^3} \left( -\frac{3}{4} \hbar^2 \right)$$

$$E = \frac{\mu_0 \gamma_1 \gamma_2}{2 \pi a^3} \left( \frac{\langle s m | \vec{S}^2 | s m \rangle - \langle s m | \vec{S}_1^2 | s m \rangle - \langle s m | \vec{S}_2^2 | s m \rangle}{2} \right)$$

**Tripleto :**  $|1 - 1\rangle = |\frac{1}{2} - \frac{1}{2}\rangle |\frac{1}{2} - \frac{1}{2}\rangle$  (por exemplo)

$$\langle 1 - 1 | \hat{S}^2 | 1 - 1 \rangle = 2 \hbar^2 \quad (\text{veja aula 9})$$

$$\langle 1 - 1 | \hat{S}_1^2 | 1 - 1 \rangle = \frac{3}{4} \hbar^2$$

$$\langle 1 - 1 | \hat{S}_2^2 | 1 - 1 \rangle = \frac{3}{4} \hbar^2$$

$$E_{tripleto} = \frac{\mu_0 \gamma_1 \gamma_2}{2 \pi a^3} \left( +\frac{1}{4} \hbar^2 \right)$$

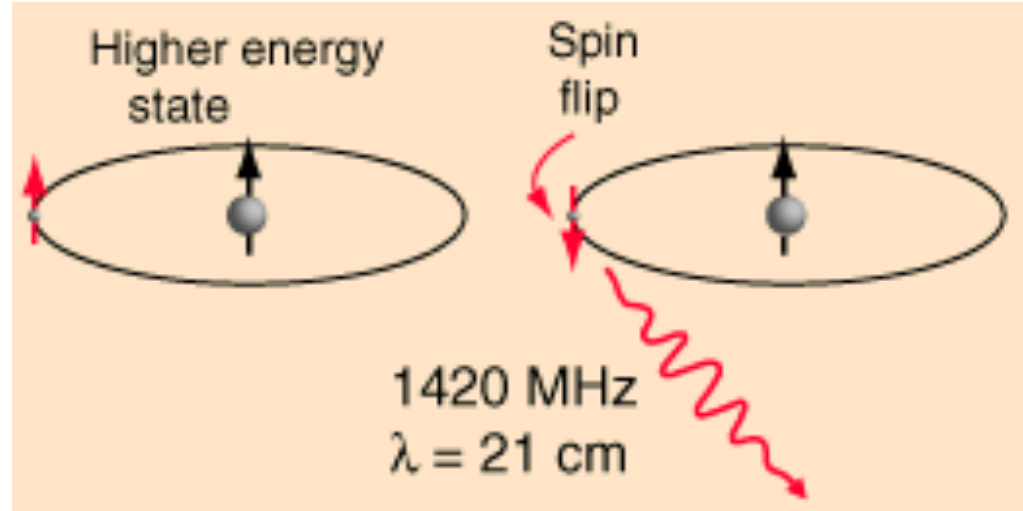
$$\Delta E_{hf} = E_{tripleto} - E_{singleto} = \frac{\mu_0 \gamma_1 \gamma_2}{2 \pi a^3} \hbar^2 \quad \gamma = \frac{g e}{2 m}$$

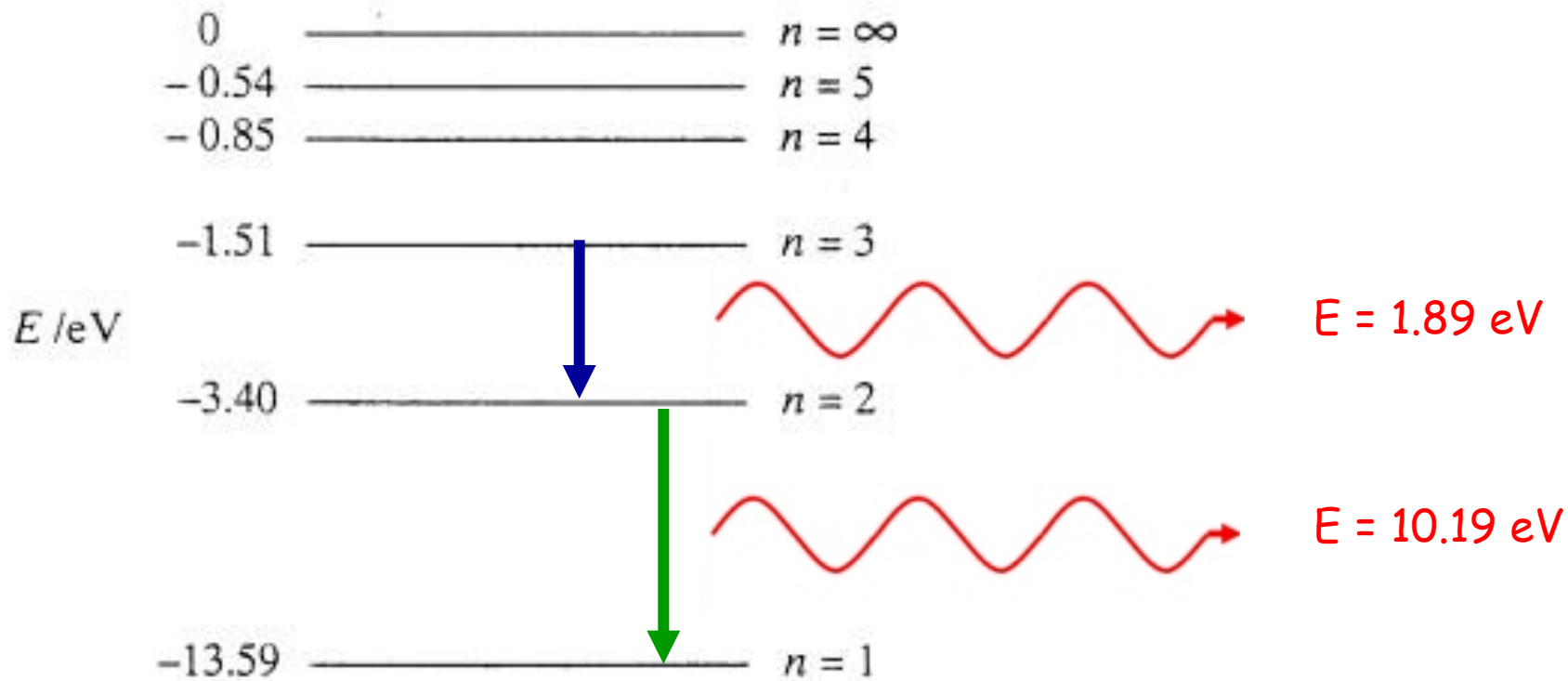
$$\Delta E_{hf} \simeq 5.884 \times 10^{-6} \text{ eV}$$

$$\nu = \frac{\Delta E_{hf}}{h} \simeq 1422.8 \text{ MHz}$$

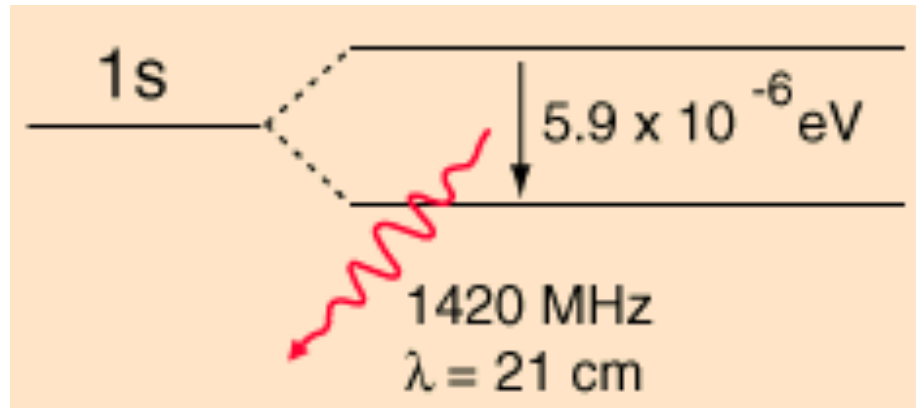
$$\lambda = \frac{c}{\nu} = 21.07 \text{ cm}$$

(micro-ondas : 12 cm)





### Estrutura hiperfina do hidrogênio



O fóton hiperfino  
tem energia  
**MUITO MENOR !**

É um só !

# Astronomia de 21 cm !

## A "linha de 21 cm"

1944 Jan Oort : o Universo pode estar cheio de hidrogênio !



1945 H. Van de Hulst : H emite os fotons de 21 cm  
Eles podem atravessar a poeira interestelar



1951 H. Ewen e E. Purcell: medida  
da linha de 21 centímetros

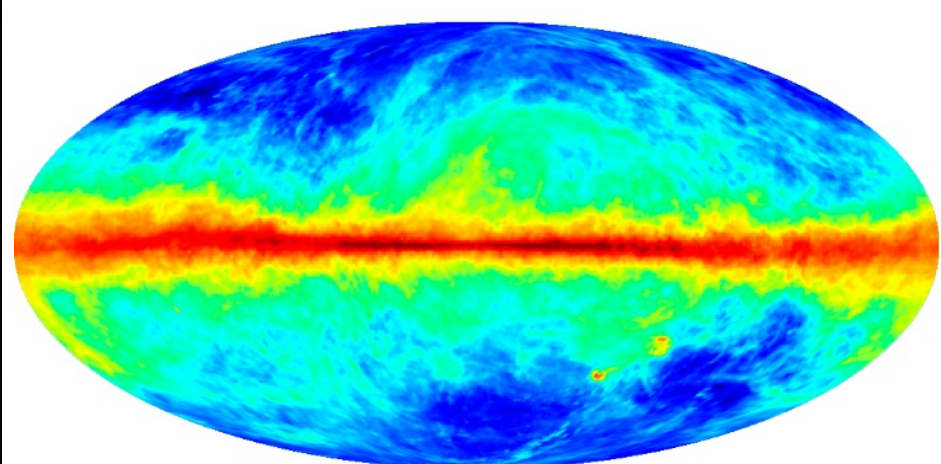
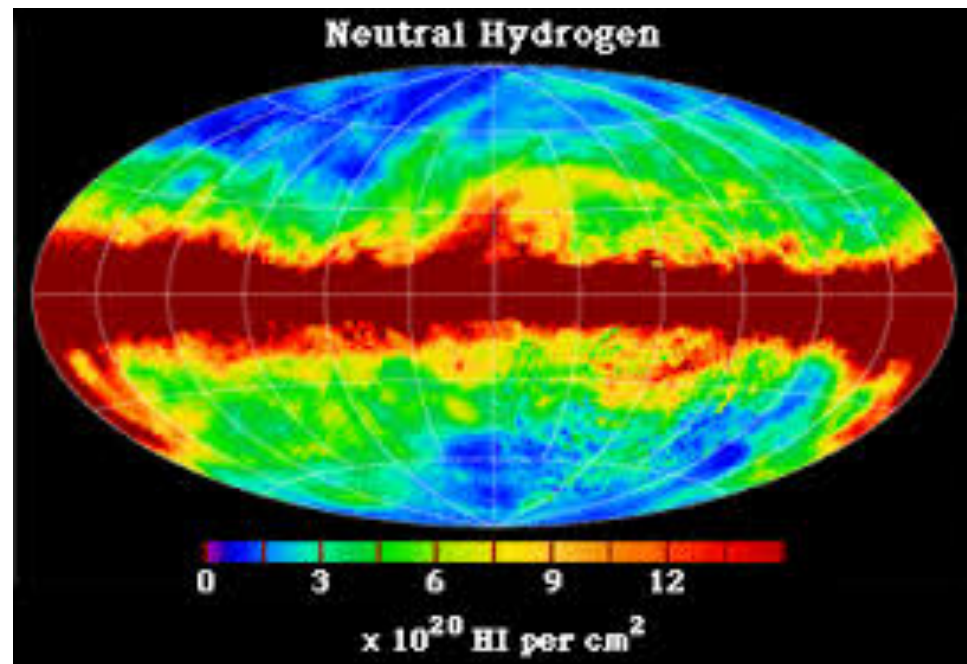


# O Universo está cheiro de hidrogênio !

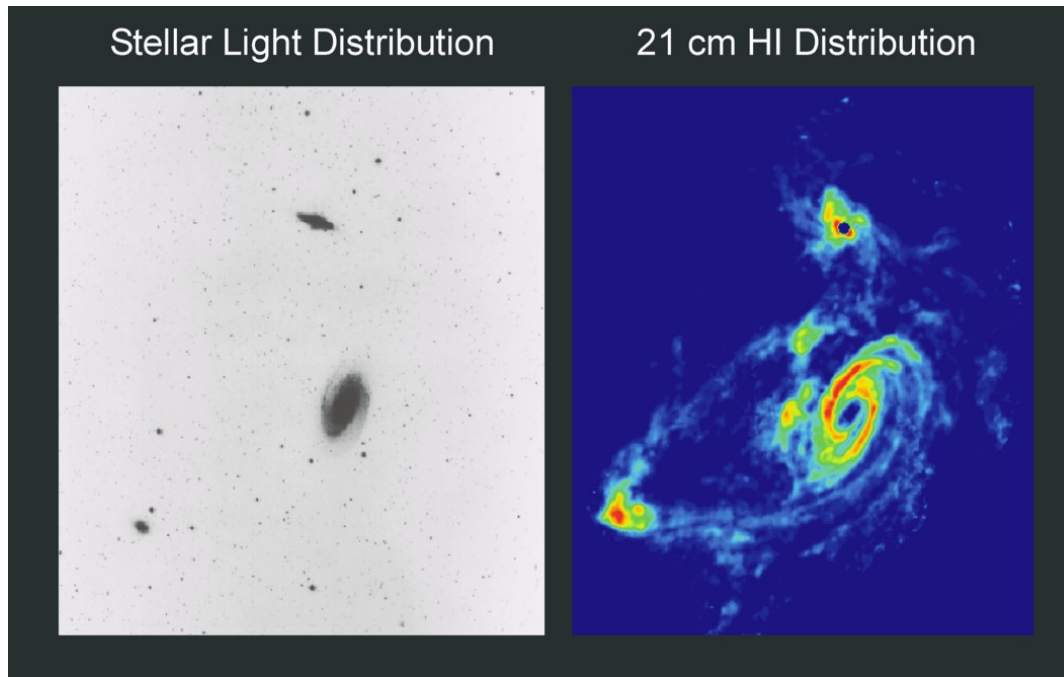
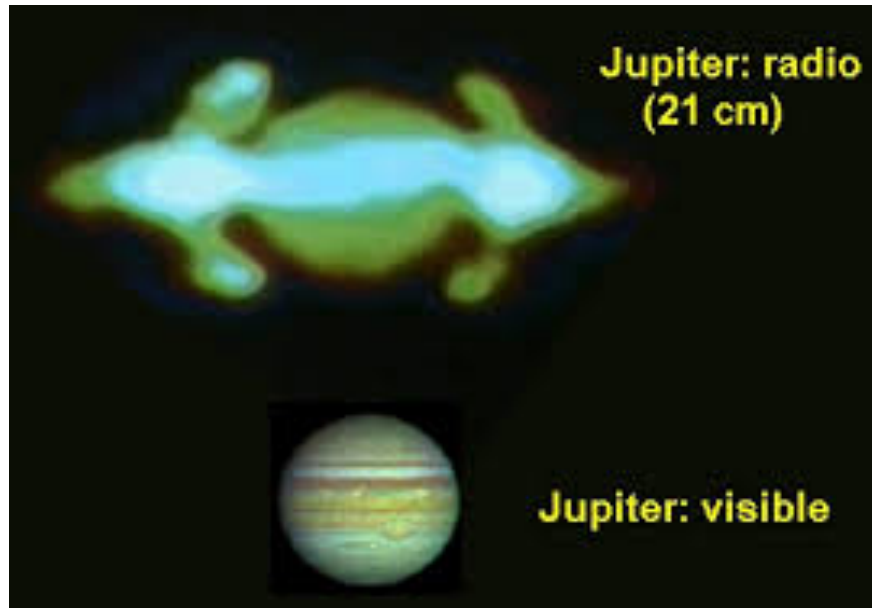
(1 átomo por cm<sup>3</sup> )

Estes átomos emitem fotons, emitem a "linha de 21 cm" !

Podemos ajustar o telescópio e tirar "fotos" da "luz" de 21 cm :



Kalberla et al 2005, from WMAP LAMBDA



Os fotons de 21 cm são muito penetrantes !

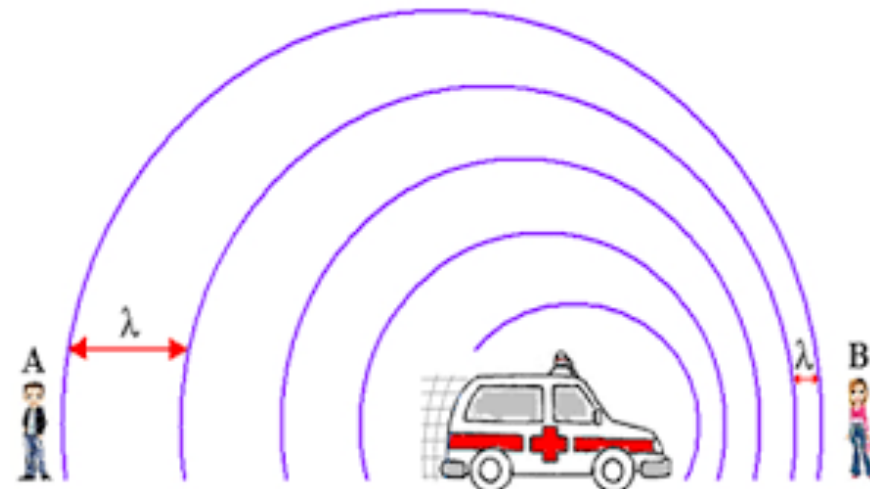
Atravessam o meio intergalático ! (IGM)

Trazem informações de partes remotas da galáxia !

Os átomos de H se movem junto com as estrelas

Eles emitem luz com frequência bem definida  $\nu_0$

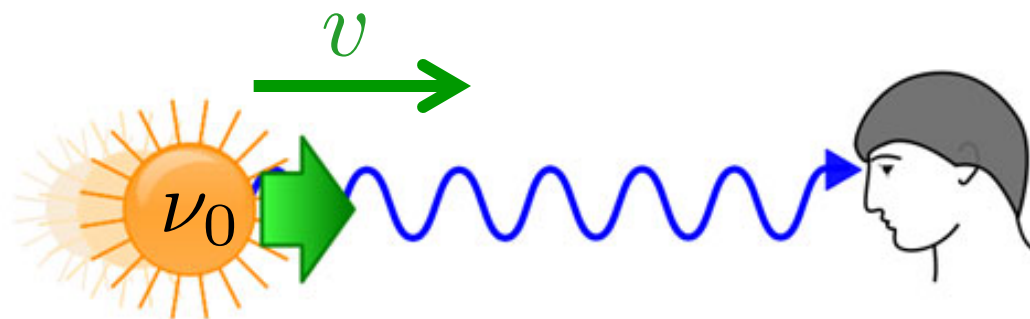
A luz emitida sofre efeito Doppler !



$$\nu = \nu_0 \sqrt{\frac{1 + v/c}{1 - v/c}}$$

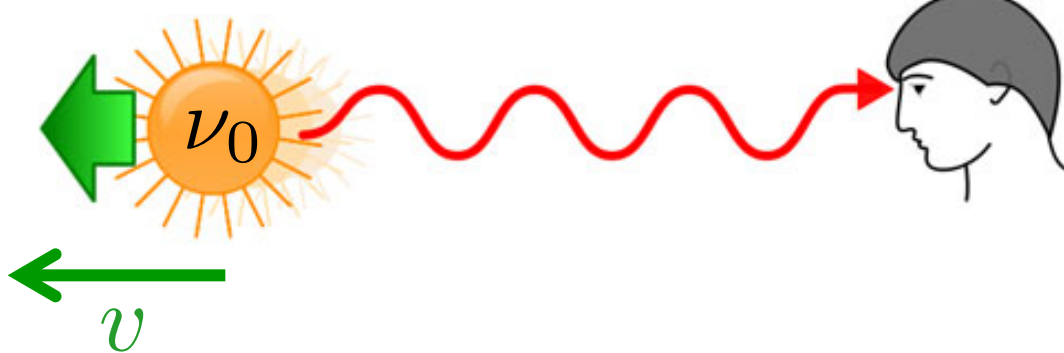
frequência aumenta

a fonte se aproxima



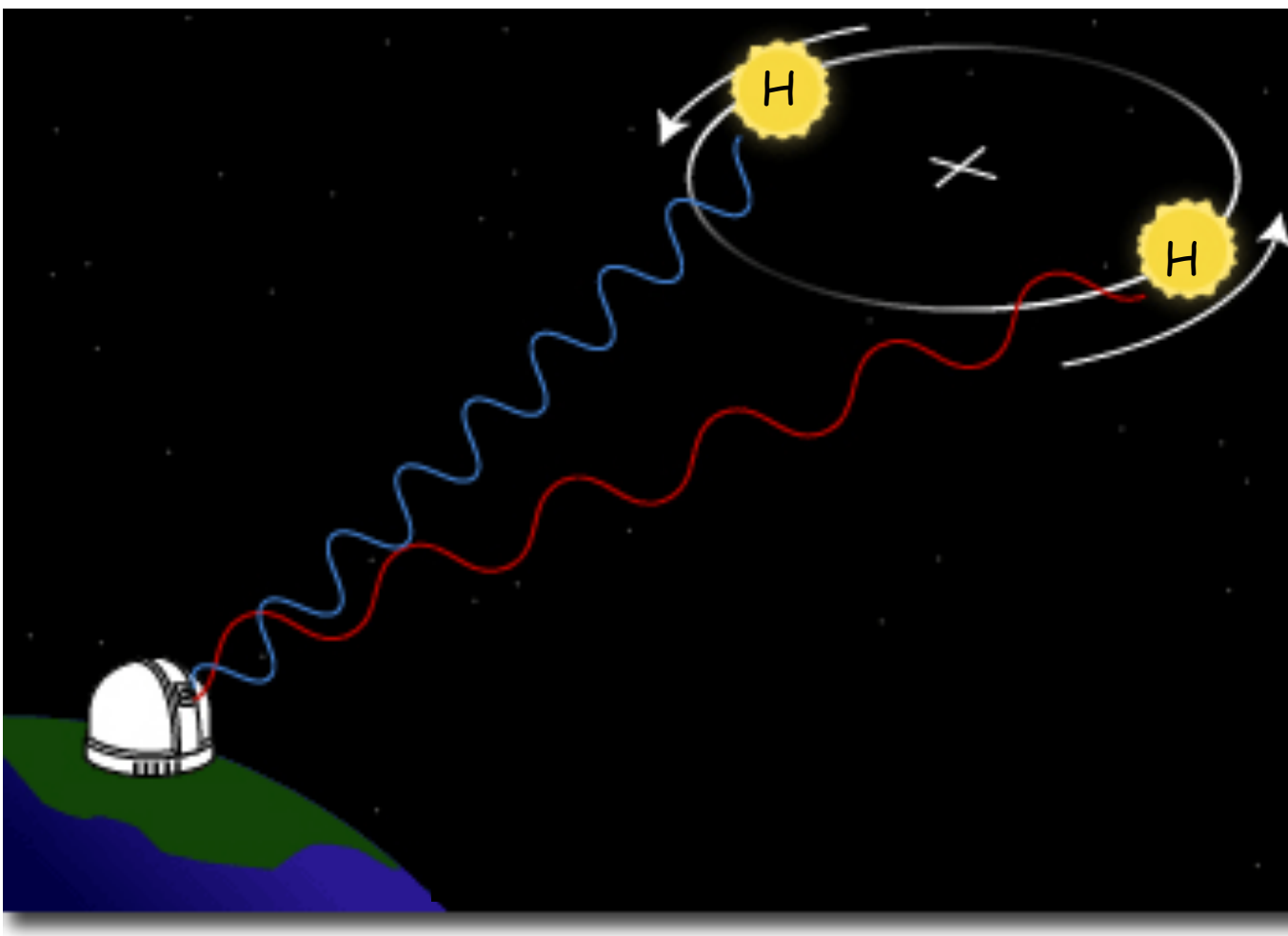
observador parado

a fonte se afasta



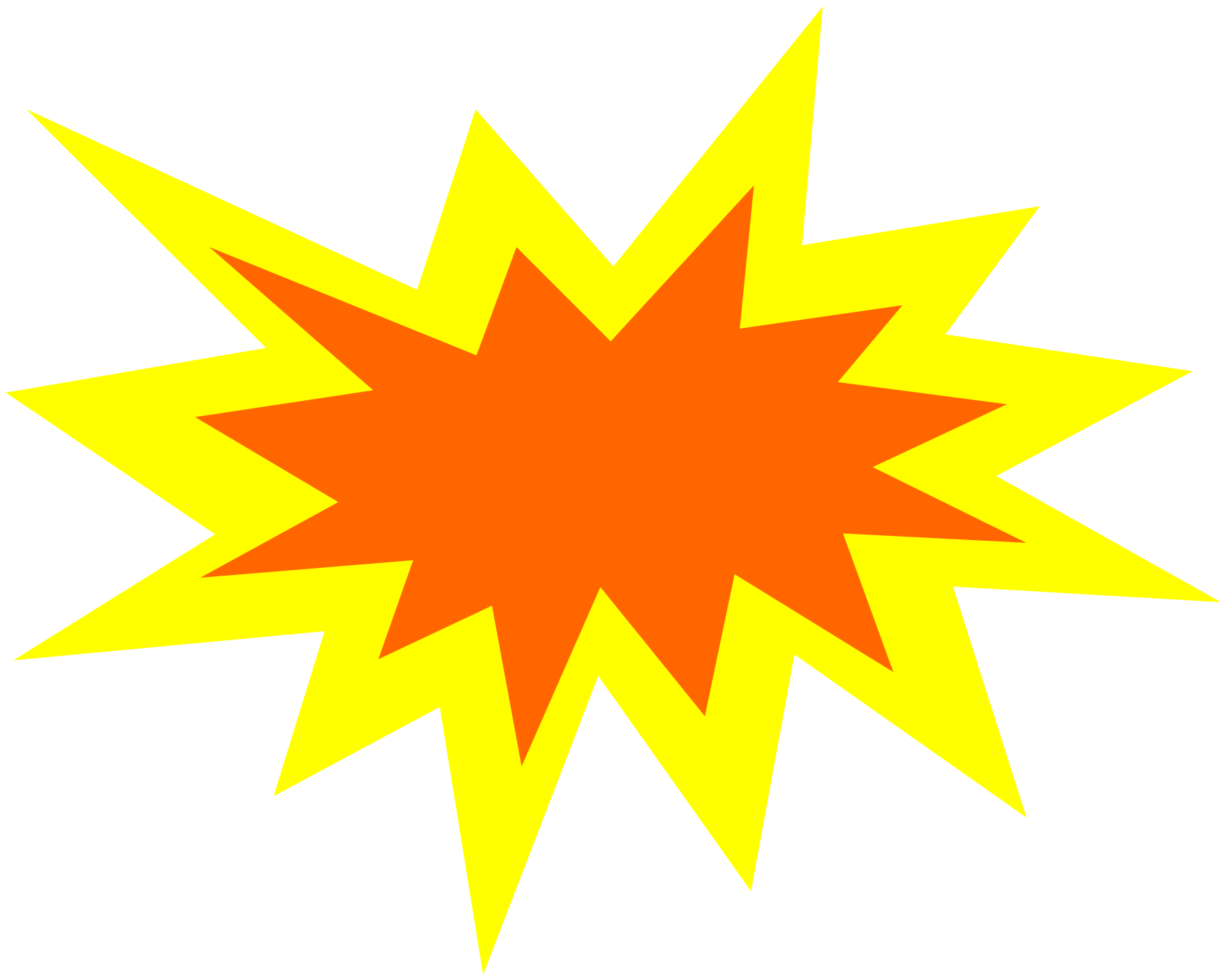
frequência diminui

$$\nu = \nu_0 \sqrt{\frac{1 - v/c}{1 + v/c}}$$



Medimos as duas frequências e descobrimos as velocidades !

Medida precisa da rotação das galáxias !



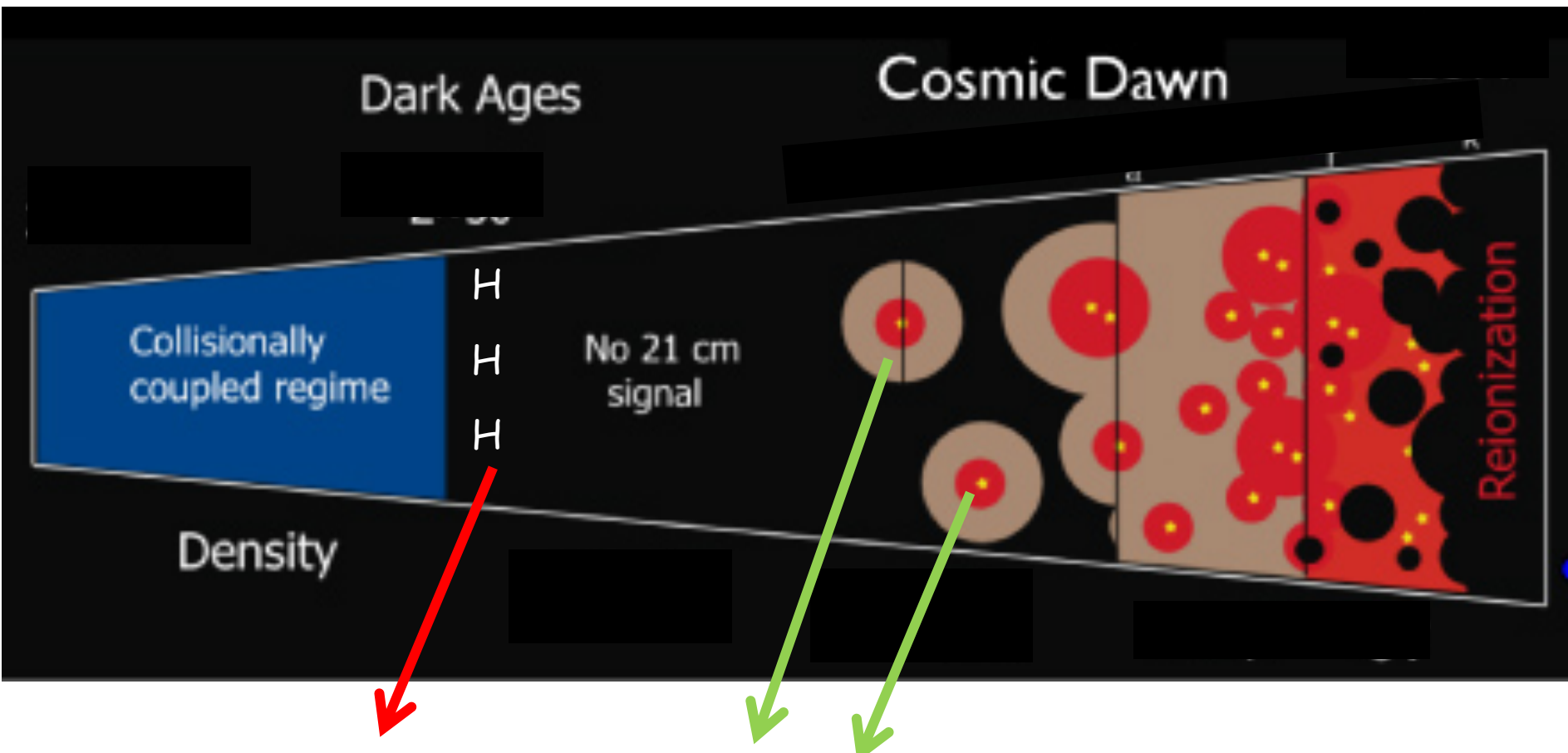




Cosmologia de 21 cm !

# Cosmologia de 21 cm !

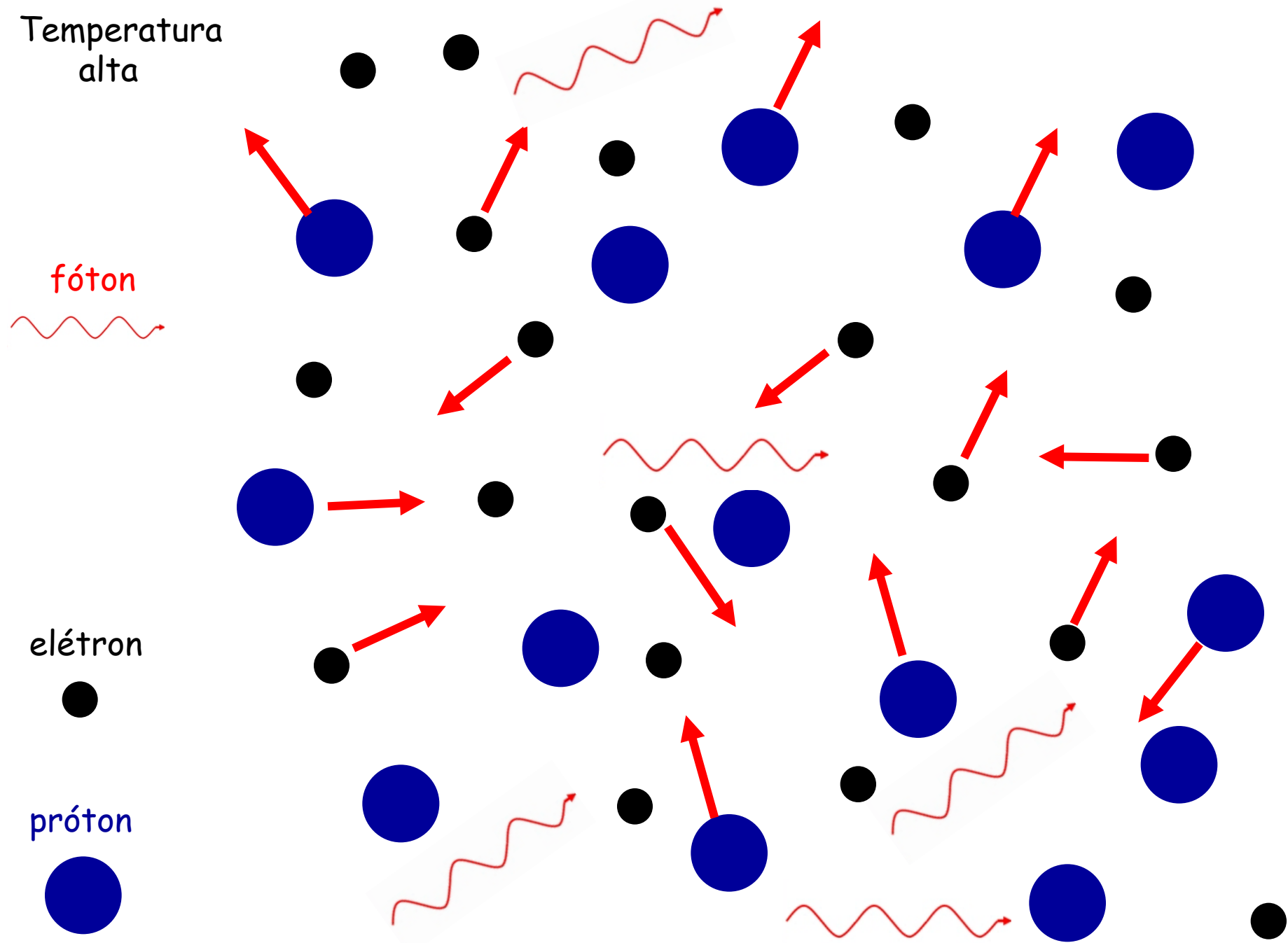
H foi produzido no Universo primordial



Formação de H

Formação das primeiras estrelas !

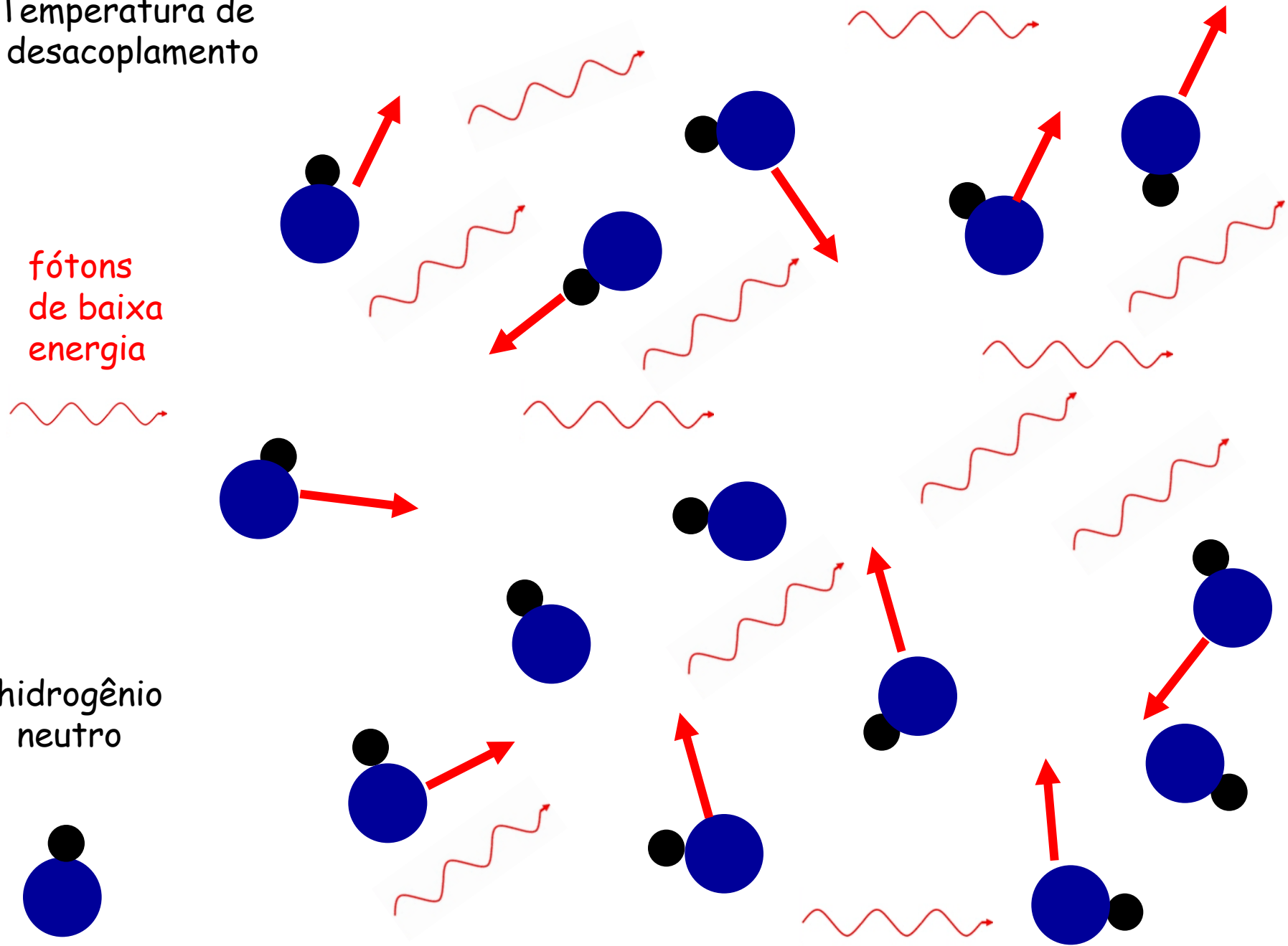
Temperatura  
alta



## Temperatura de desacoplamento

fótons  
de baixa  
energia

hidrogênio  
neutro

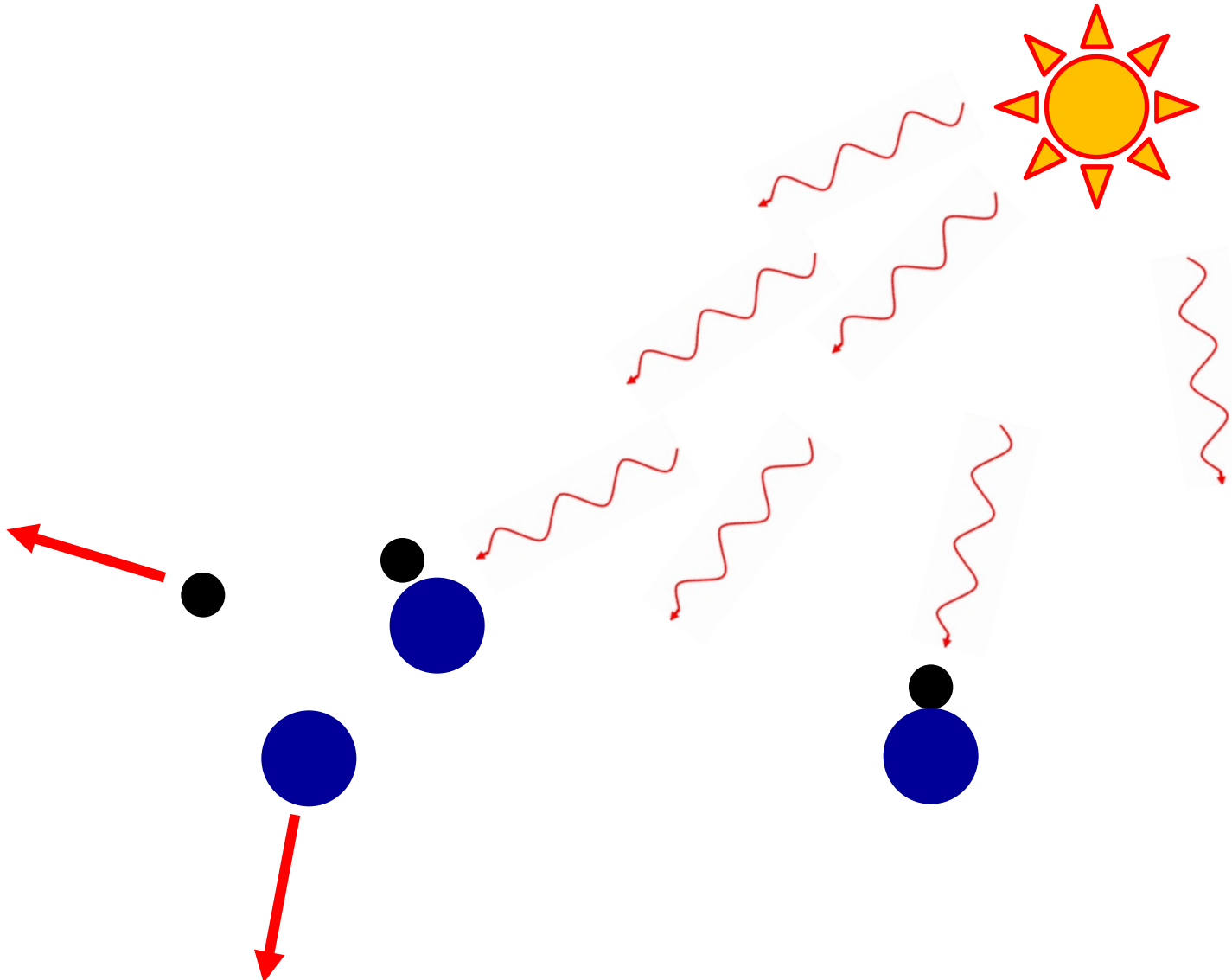
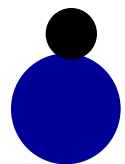


# Formação das estrelas

fótons  
de baixa  
energia



hidrogênio  
neutro

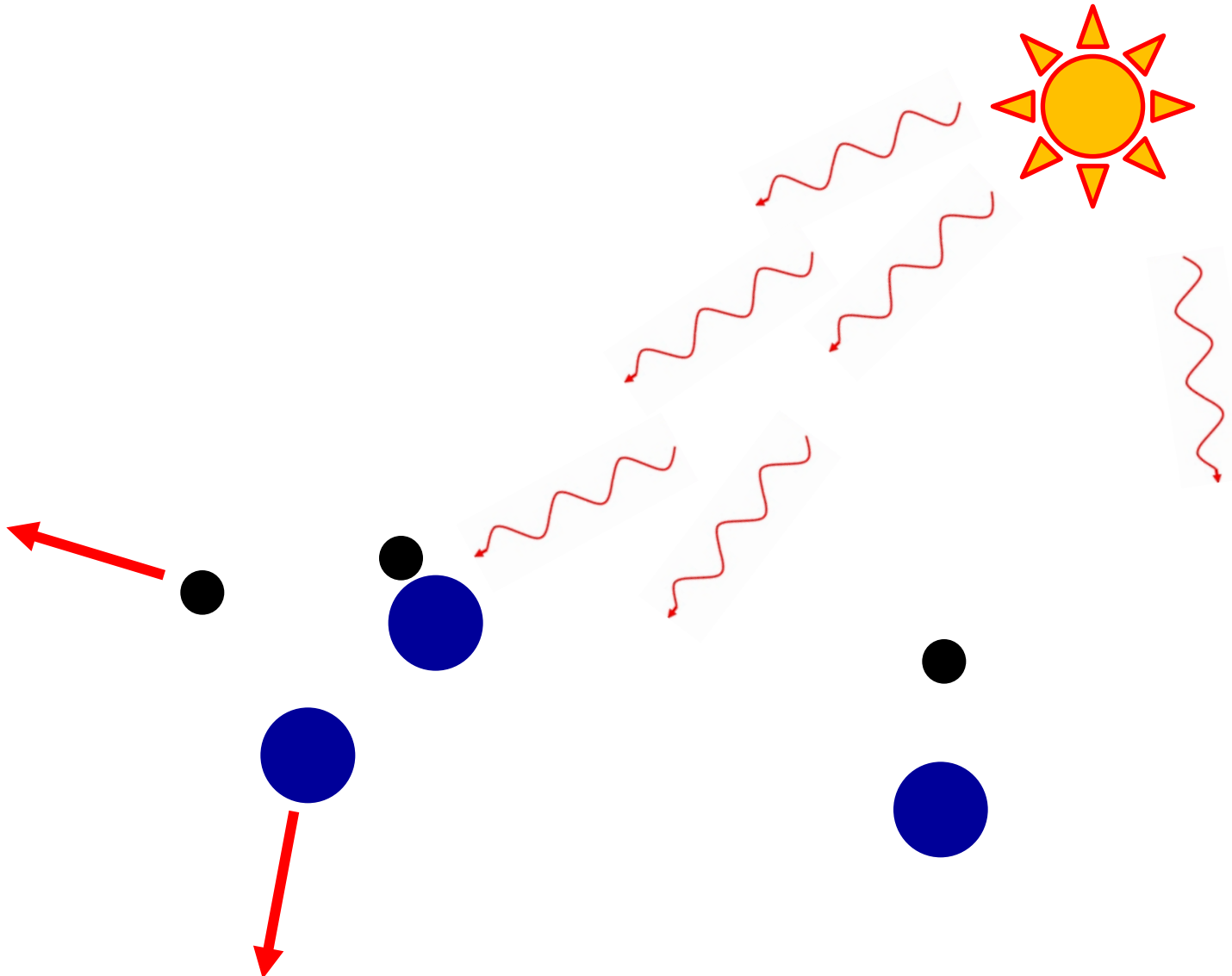
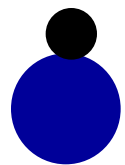


# Formação das estrelas

fótons  
de baixa  
energia



hidrogênio  
neutro

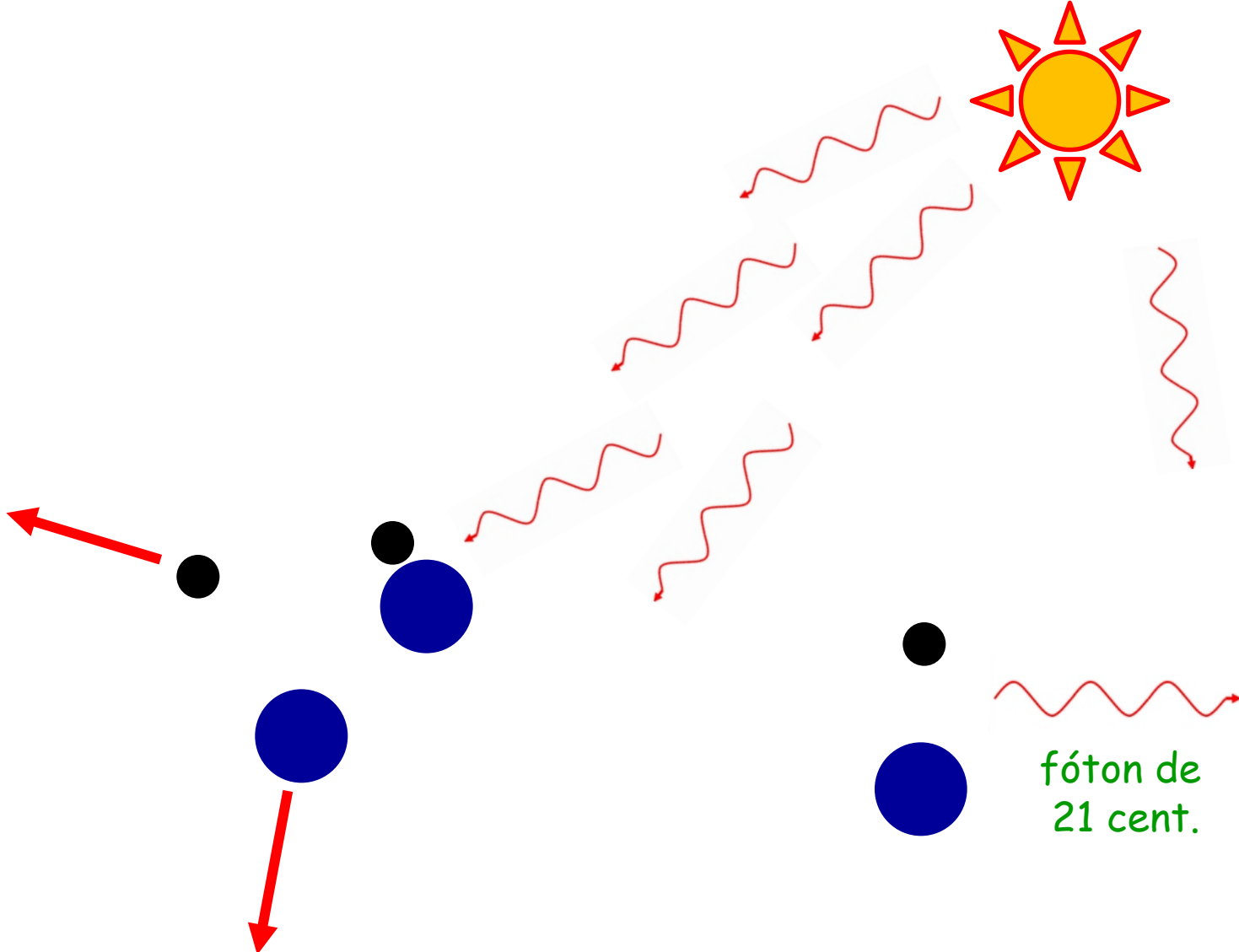
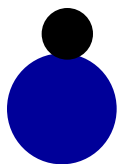


# Formação das estrelas

fótons  
de baixa  
energia



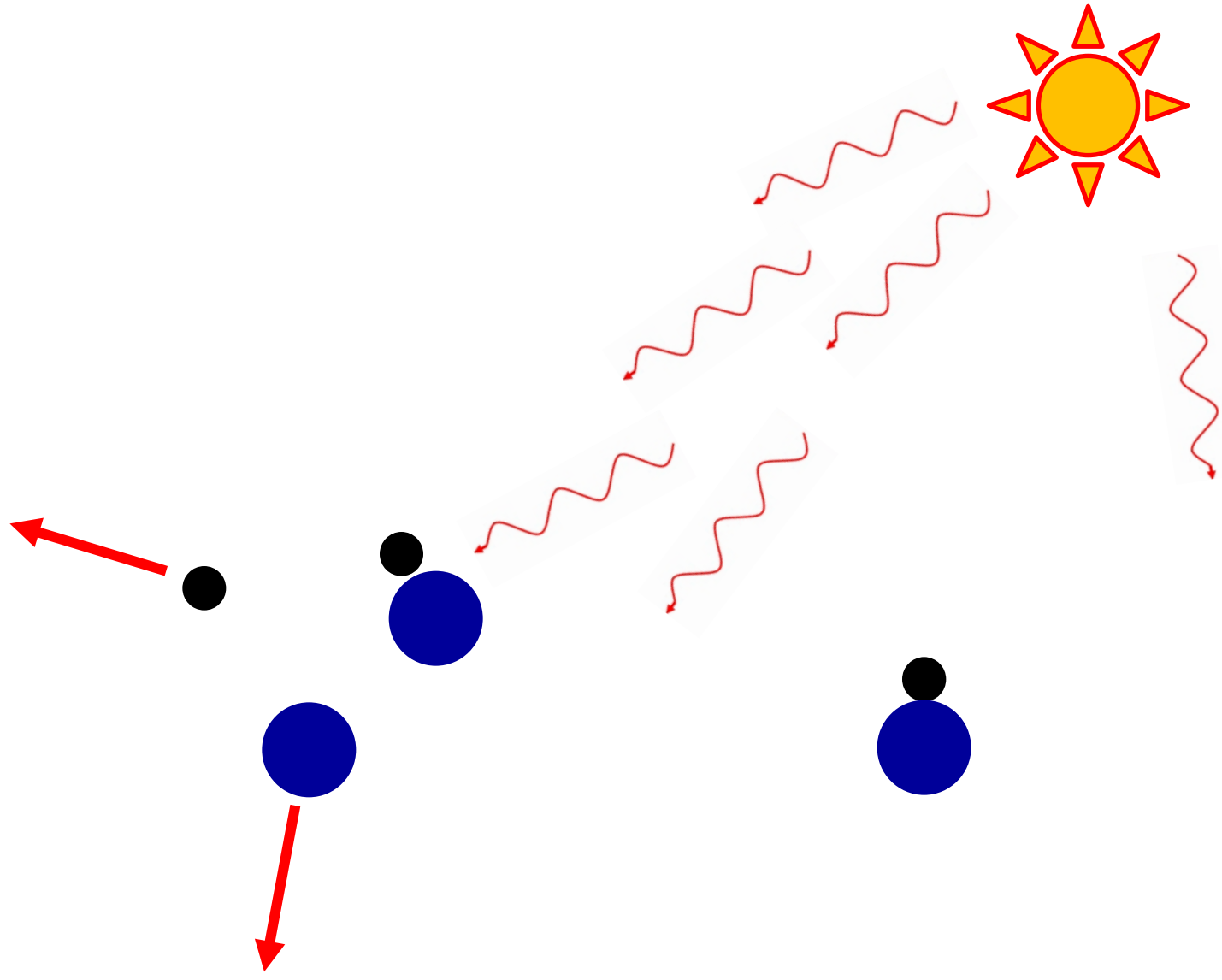
hidrogênio  
neutro



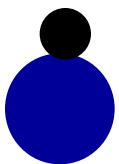
fóton de  
21 cent.

# Formação das estrelas

fótons  
de baixa  
energia



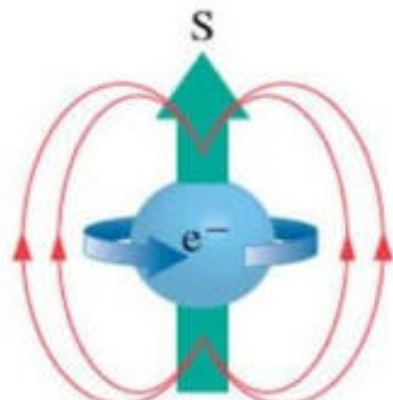
hidrogênio  
neutro



$$\vec{B} = \frac{\mu_0}{2\pi a^3} \vec{\mu}$$

$$\vec{\mu} = \gamma \vec{S} \quad \gamma = \frac{g e}{2m}$$

$$\vec{B} = \frac{\mu_0 I}{2\pi a^3} \gamma \vec{S}$$

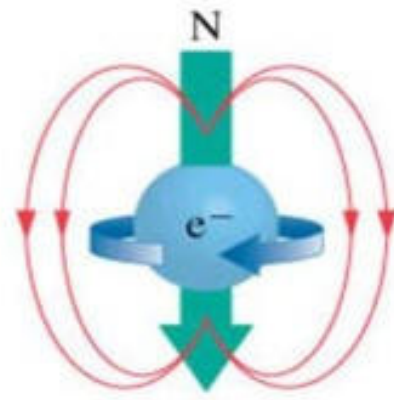


$$m_s = +\frac{1}{2}$$

momento magnético gera campo magnético !

spin gera momento magnético !

spin gera campo magnético !



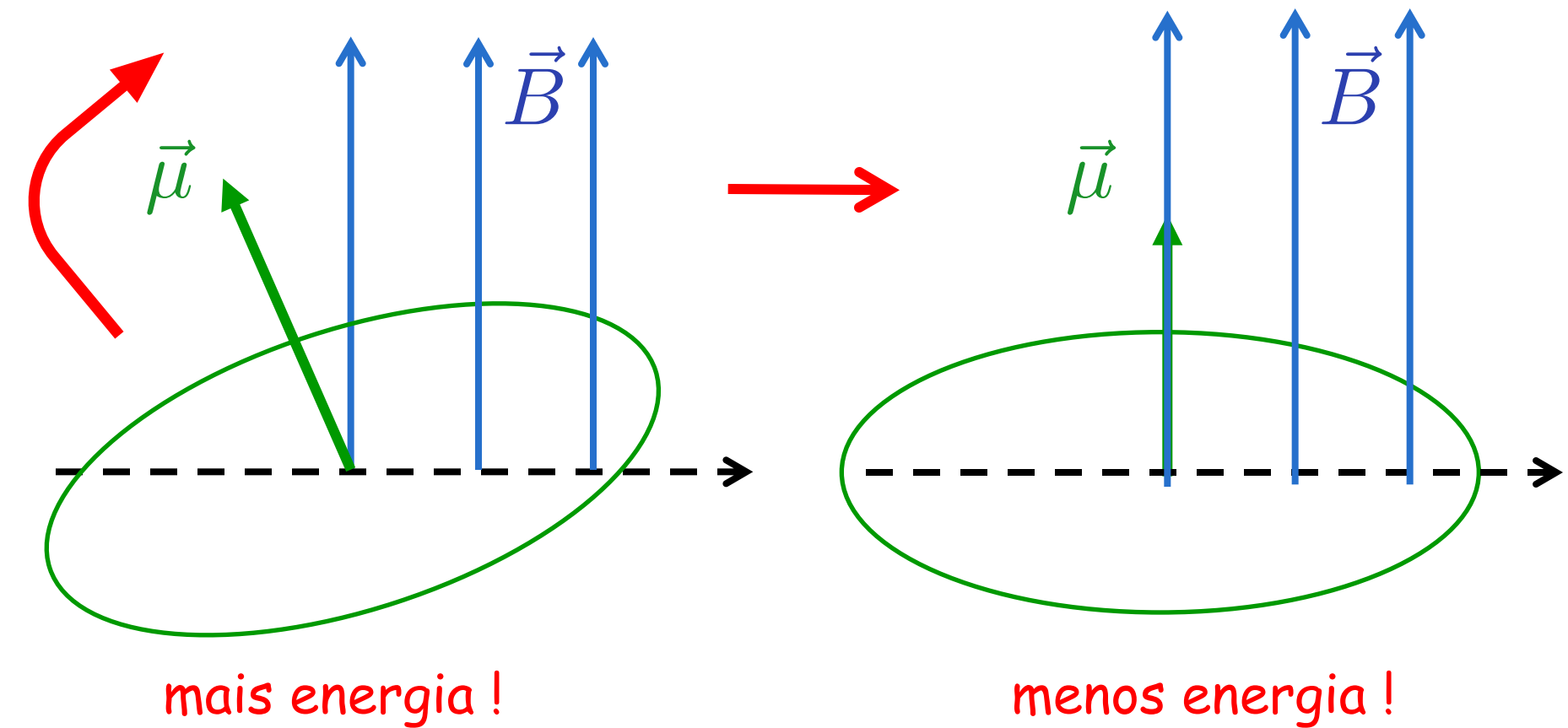
$$m_s = -\frac{1}{2}$$

## Conclusão

Spin útil em astronomia : rotação das galáxias

Spin útil em cosmologia : nascimento das estrelas

Espira tenta se alinhar como uma bússola !



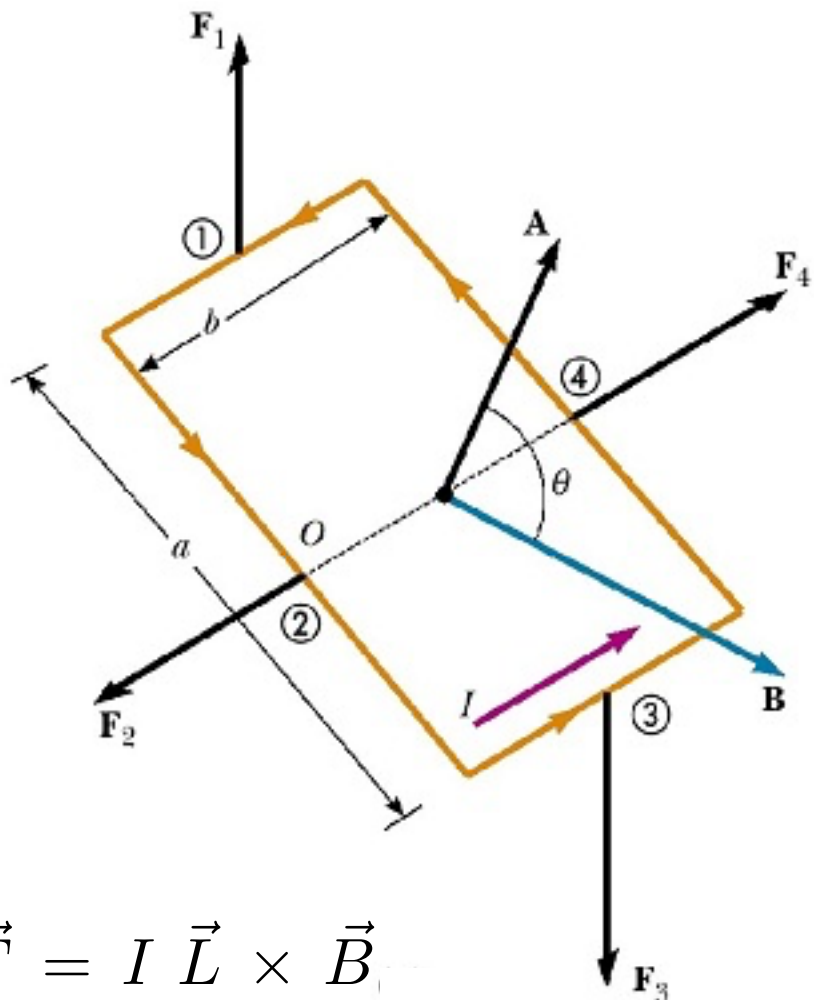
Energia potencial de orientação

$$U = -\vec{\mu} \cdot \vec{B}$$

Espira sofre um torque !

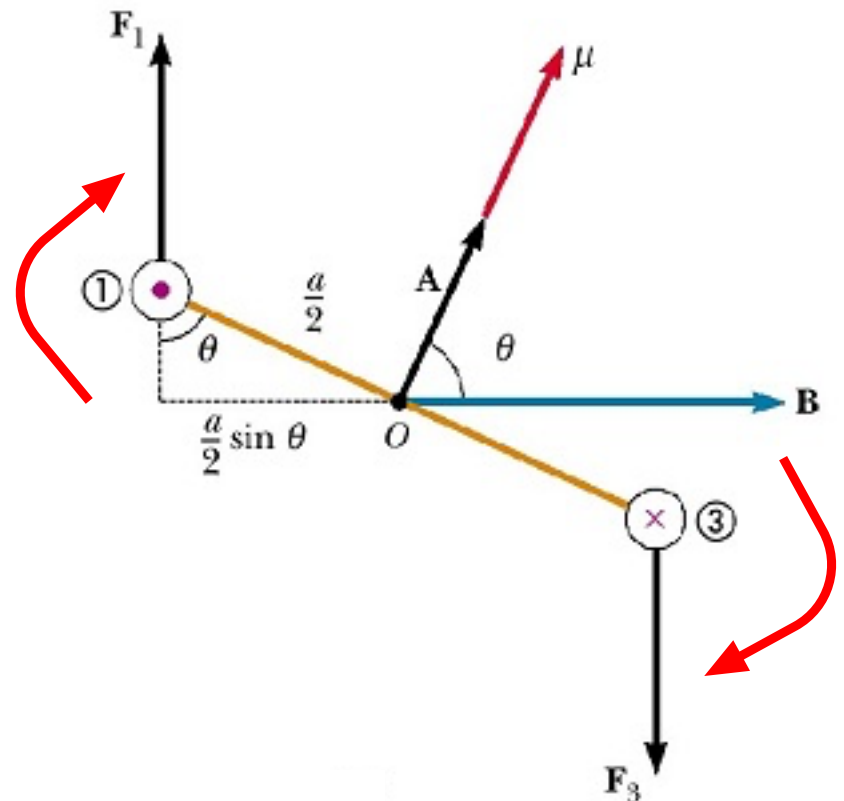
$$\vec{\mu} = I \vec{A}$$

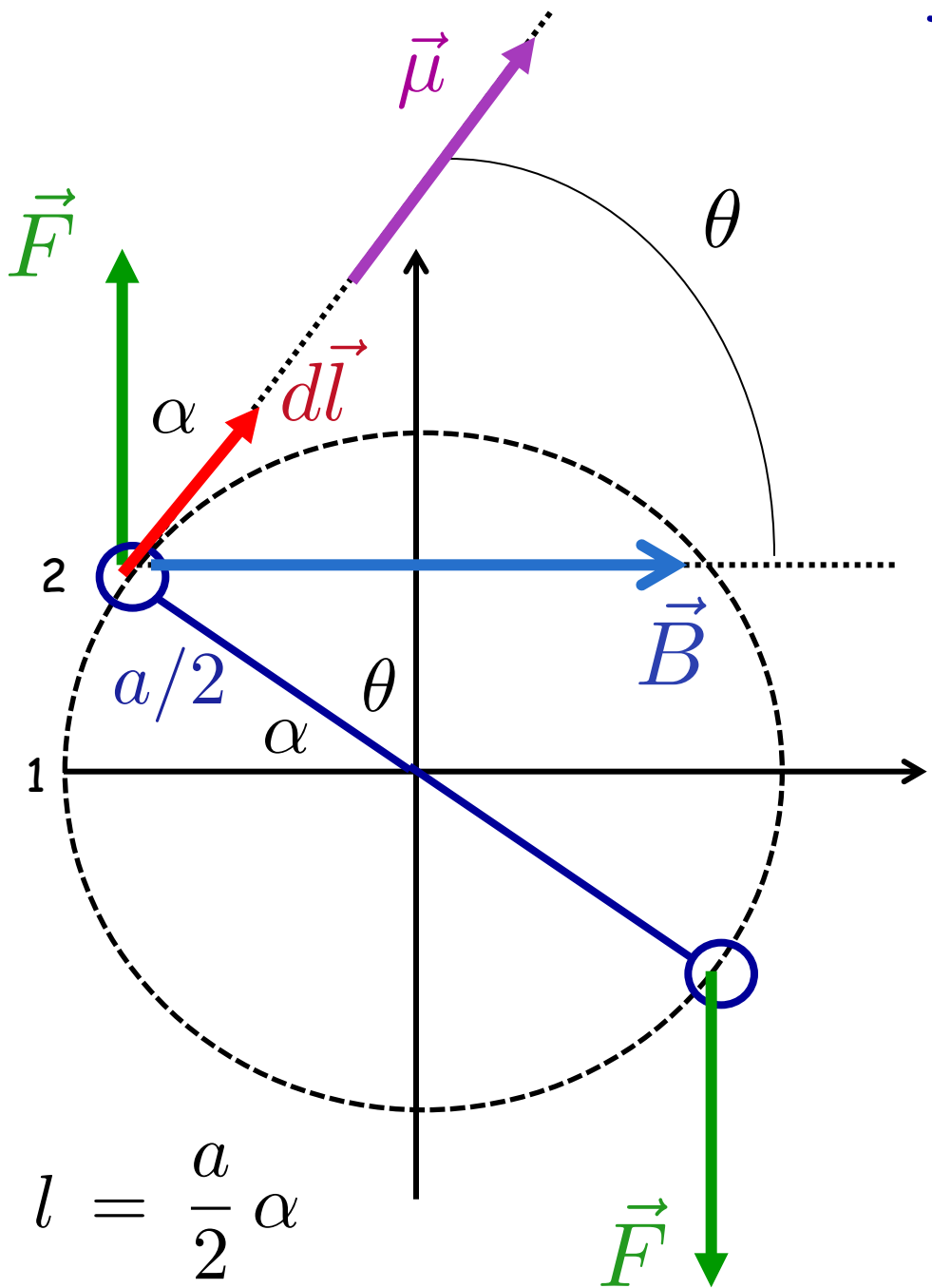
$$\mu = I a b$$



$$\vec{F} = I \vec{L} \times \vec{B}$$

$$F = I b B$$





Trabalho da força  $F$  quando a espira vai de 1 a 2.:

$$dW = \vec{F} \cdot d\vec{l}$$

$$= F dl \cos \alpha$$

$$= F \frac{a}{2} d\alpha \cos \alpha$$

$$W = \int_0^\alpha F \frac{a}{2} \cos \alpha \, d\alpha$$

$$W = F \frac{a}{2} \sin \alpha$$

$$W = F \frac{a}{2} \cos \theta$$

$$W = F \frac{a}{2} \cos \theta$$

Somando a contribuição da barra inferior (3) :

$$W = F a \cos \theta$$

$$F = I b B$$

$$W = I a b B \cos \theta$$

$$\mu = I a b$$

$$W = \mu B \cos \theta$$

$$W = \vec{\mu} \cdot \vec{B}$$

$$W = -U$$

$$U = -\vec{\mu} \cdot \vec{B}$$



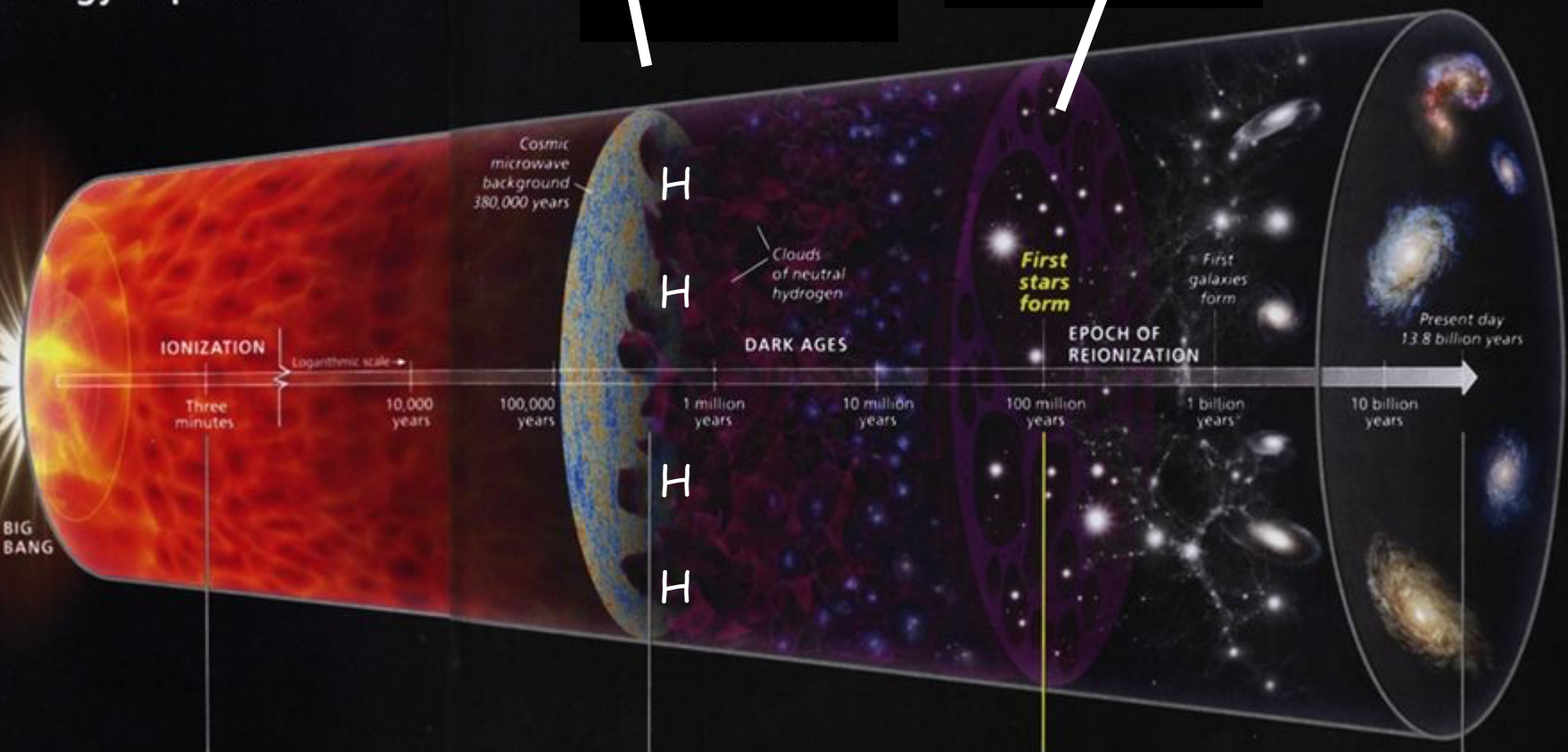
# Beginnings

- In the '50s & '60s, Radio telescopes first discovered the “signature” line of Hydrogen at 21 cm wavelength ***between*** stars.
  - The hydrogen gas was found (in abundance) in the “empty” space between stars.
  - Note: Domestic microwave ovens use a signal of ~ 12 cm wavelength to cook food
- This gas was “dark” in optical wavelengths but “bright” in radio wavelengths.

## 21-Centimeter Cosmology Explained

Formação de H

Formação das  
primeiras estrelas !



# What is the Reionization Era?

A Schematic Outline of the Cosmic History

Time since the Big Bang (years)

~ 300 thousand



← The Big Bang

The Universe filled with ionized gas

← The Universe becomes neutral and opaque

The Dark Ages start

Galaxies and Quasars begin to form  
The Reionization starts

The Cosmic Renaissance  
The Dark Ages end

Reionization complete,  
the Universe becomes transparent again

Galaxies evolve

The Solar System forms

Today: Astronomers figure it all out!

Formação de H

Formação das  
primeiras estrelas !